

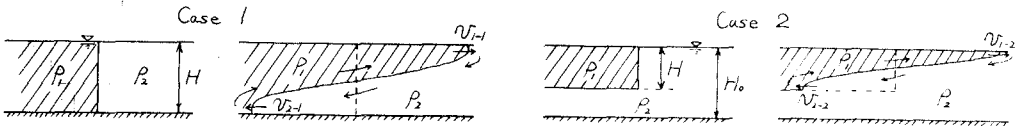
II-131 表層密度流による汚染物の輸送に関する研究

京都大学工学部 正員 岩井重久 井上頼輝 ○奇島泰  
大阪工業大学工学部 学生員 高橋史雄

受容水深と比較して低密度の層水が放出される場合、初期混合が不完全で下部内部の差に $\delta$ 、 $\delta$ が表層密度流が形成される。これは $\delta$ と長距離波、境界面を $\delta$ 、内部波界に基づく水深との場合に $\delta$ よりも規模を減らす。我々はこれを非定常表層密度流に因り、特に次に述べるような初期、境界条件を有する場合について検討を行な、その特徴を述べる。

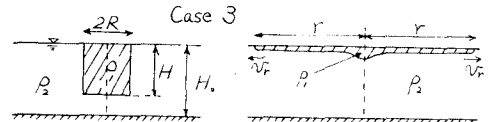
Case 1 初期に全水深Hにわたり左右に隔てらるる場合の非定常2層流。

Case 2 初期に深さH (< 全水深) の部分のみ左右に隔てらるる場合の非定常2層流。



Case 3 初期に半径R、深さHの体積を有する低密度流体の形成する表層流。

先端流連 1~3の場合に $t$ が任意時刻における境界面形状、流連等を運動、連続方程式に基づいて解析する事は、内部圧力が時間的、位置的に変化することを $\delta$ と見做すことが不可能である。しかし境界面先端の速度について円半径 $r$ 、半径的の仮定が可能である。



1, 2の場合については、予備実験の結果、上下の先端流連は運動開始後短時間内に一定速度に達すること確かめられたが、上下の流連に関連する水深、密度差等を考慮して次元解析をして、上下の先端流連 $v_1, v_2$ は $\delta$ と $H$ の関数と見做す。

1), 2) 式の $\delta$ に表わされる。ここに長

$$v_1 = k_1 \sqrt{\frac{\rho_2 - \rho_1}{\rho_1} g H} \quad \dots (1) \quad v_2 = k_2 \sqrt{\frac{\rho_2 - \rho_1}{\rho_2} g H} \quad \dots (2)$$

は無次元数であり、Poggiに $\delta$ と $\delta$ との、境界面に因る $\delta$ 、フルード数と同様の意義を有するものと思わされる。1), 2) 式は、上下の運動エネルギーと $\delta$ の密度差に基づく最大の部圧 $(\rho_2 - \rho_1) g H$ と、最大流連速度の運動量 $\rho_1 v_1^2, \rho_2 v_2^2$ の間に比例関係も仮定すれば、同様と見做す。

3) の場合については、cloudの半径が $r$ 、おと $r + dr$ の場合の先端速度を $v_r, v_r + dv_r$ と見做し、厚さ変化を無視、 $dr dv_r$ は微小量として近似的に無視すると(3)式が成立し、これより(4)式の関

$$r \cdot dv_r + v_r \cdot dr = 0 \quad \dots (3) \quad v_r \cdot r = C \quad \dots (4) \quad C = k \left\{ R^2 H \left( \frac{\rho_2 - \rho_1}{\rho_1} \right) g \right\}^{1/2} \quad \dots (5)$$

係が得られる。Cは $t/T$ の次元を有するが、この表層流の運動に関連する浮力等の外力を考慮して次元的に解析すると(5)式の $\delta$ に表わされる。したがって先端速度 $v_r$ は(6)式で示される。ここに長は

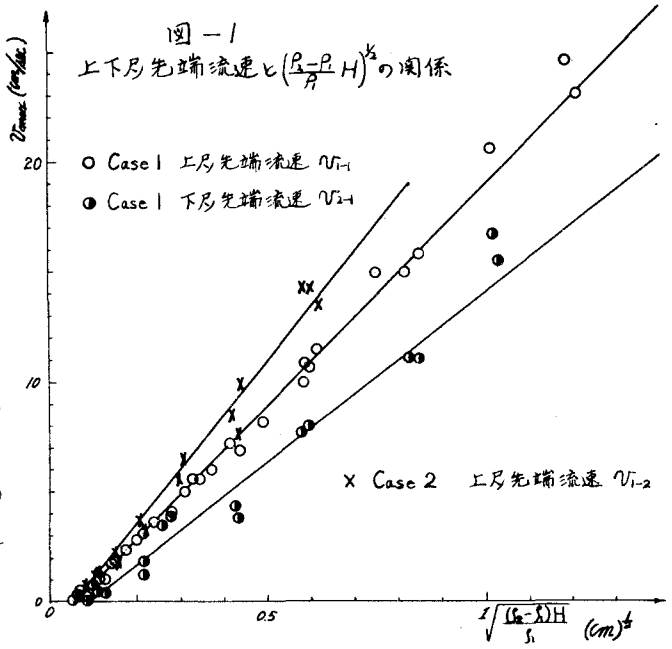
$$v_r = k \left\{ R^2 H \left( \frac{\rho_2 - \rho_1}{\rho_1} \right) g \right\}^{1/2} \cdot r^{-1} \quad \dots (6) \quad r = C t^{1/2} = k \left\{ R^2 H \left( \frac{\rho_2 - \rho_1}{\rho_1} \right) g \right\}^{1/4} t^{1/2} \quad \dots (7)$$

次元定数である。層水領域の大きさは、 $v_r \cdot r = dr dt \cdot r = C$  (4) 式の関係より求め(7)式で示される。

実験結果と考察 Case 1. 2について、巾5cm、深さ30cm、長さ1mの水路を用い、 $\rho_2 - \rho_1 / \rho_1 = 0.001 \sim 0.037$ の同8段階、水深は1の場合 $H = 2.5, 5, 10, 15$ cm、2の場合低密度流体の厚

H = 1.25, 2.5, 5, 10 cm である。この層の下部にある高密度流体の層厚は一律 5 cm とし、層厚、密度差の各組合せに対して実験を行なう。密度差は食塩水で調整、低密度流体はラニンで着色し、2 流体の初期における分離は中見の仕切り板を行なう。各実験における上下層先端速度と  $(\rho_2 - \rho_1) \cdot H^{3/4}$  の関係を図-1 に示すが、Case 1, 2、いづれの場合もかなり直線性が認められる。グラフの勾配を (1), (2) 式における比例無次元定数  $k$  と求めると、Case 1 における上層流、下層流、Case 2 における上層流に対してそれぞれ  $0.66, 0.50, 0.80$  となる。また  $Y_{10}$  は、Case 1 の下層流に対して  $k = 0.45$  となり直線性を示している。下層流の場合先端速度を (2) 式で表わすとき  $k = 0.63$  となり上層流先端速度も (1) 式で表わす場合の  $k$  と近い値となる。

図-1  
上下層先端流速と  $(\frac{\rho_2 - \rho_1}{\rho_1} H)^{3/4}$  の関係



Case 3 については、直径 1 m、深さ 20 cm の円形水槽を用い、 $\frac{\rho_2 - \rho_1}{\rho_1} = 0.0035 \sim 0.021$ 、半径  $R = 2.1$  cm、水深  $H = 4.5, 9.5$  cm の各組合せに対して実験を行なう。上部より観察した先端境界面の軌がリトと時間平方根  $\sqrt{t}$  との関係は  $H = 9.5$  cm の場合について図示する。図-2 のように、かなり良い直線関係が得られる。H = 4.5, 9.5 cm、いづれの場合でも、密度差が小さい場合ほど、 $k$  が大となり、この直線関係から下層へ下層の傾向がある。しかし、この直線関係が  $U_{10}$  付近までしか成立しておらず、実際的な問題では、溶剤拡散による輸送が支配的な過程に入り、いづれであろうから、実際的な問題となる。この範囲では (1) 式の関係が成立するものも考えられる。(1) 式における

図-2  
流体半径と時間平方根の関係

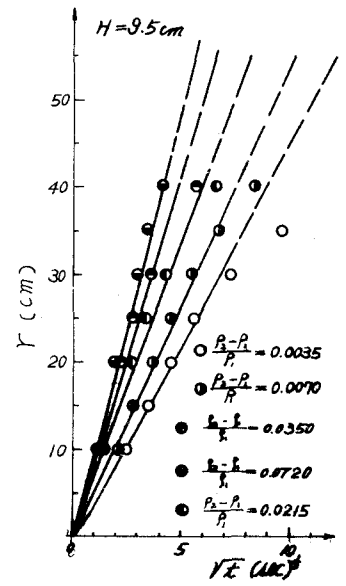
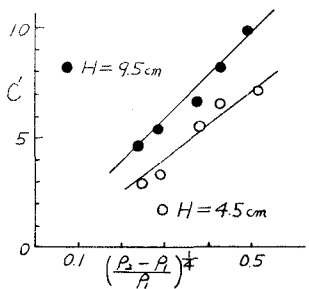


図-3  
 $C'$  と  $(\frac{\rho_2 - \rho_1}{\rho_1})^{3/4}$  の関係



$C' = k \left\{ R^2 H \left( \frac{\rho_2 - \rho_1}{\rho_1} \right) g \right\}^{1/4}$   
 なる関係が得られるため、 $C'$  と  $(\rho_2 - \rho_1)^{3/4}$  の関係を図示すると図-3 のように H = 4.5, 9.5 cm、いづれの場合も良好な直線関係がみられ、 $C' \propto (\rho_2 - \rho_1)^{3/4}$  となる。  $C'$  と  $(R^2 H)^{1/4}$  との関係、 $k$  と比例無次元定数  $k$  の値について同様検討発表の予定。  
 文献 1) H. Rouse, Engineering Hydraulics (1949), p. 764